

07; 12

© 1993

МИКРОФОКУСНАЯ РЕНТГЕНОВСКАЯ ТРУБКА
С ВСТРОЕННЫМ ВОЛНОВОДНЫМ КОЛЛИМАТОРОМ

О.Б. Б а ж е н о в а, Т.В. Б а й д ю к,
Ю.И. Д у д ч и к, Ф.Ф. К о м а р о в,
Д.Г. Л о б о ц к и й

Микрофокусные рентгеновские трубы с массивным анодом широко используются в рентгеновской микроскопии, томографии, рентгено-структурном анализе. Один из возможных путей уменьшения размеров эффективного фокусного пятна трубы состоит в уменьшении угла между рабочим пучком и плоскостью анода до величины 10–6 град [1]. При этом обычно считается, что дальнейшее уменьшение указанного угла приводит к существенному ослаблению рабочего пучка вследствие поглощения и рассеяния излучения на неровностях поверхности анода. В то же время существующие в настоящее время методы обработки поверхности (алмазное точение, шлифовка и полировка) позволяют получать гладкие медные поверхности с размером (высотой) шероховатостей 1–4 нм [2]. Зеркала с такими сверхгладкими поверхностями практически полностью отражают рентгеновские лучи при углах скольжения, меньших критического угла полного внешнего отражения – θ_K , $\theta_K = \frac{\hbar\omega_p}{\hbar\omega}$, где ω_p – частота плазменных колебаний электронов в среде, $\hbar\omega$ – энергия рентгеновских фотонов. В свою очередь флуоресцентный выход характеристического излучения атомов, расположенных вблизи гладких границ раздела, имеет свои особенности, которые определяются не процессами рассеяния и поглощения излучения на неровностях поверхности, а ее преломляющими свойствами. Это, в частности, проявляется в том, что в угловой зависимости выхода флуоресцентного излучения наблюдается его ярко выраженное возрастание в интервале скольжения $\theta > \theta_K$ [3].

Учитывая вышесказанное, можно предположить для уменьшения размеров эффективного микрофокуса использовать в рентгеновских трубках аноды со сверхгладкими поверхностями, а вывод рабочего пучка осуществлять при углах скольжения порядка критического относительно плоскости анода. При этом для формирования микропучков эффективным может оказаться использование коллиматоров типа волноводных [4], форма и расположение которых относительно анода определяется конкретными задачами. Один из возможных вариантов расположения плоского анода и отражателя (волновода) описан в работах [5–6], где применена схема, в которой анод фактически является одновременно и отражателем.

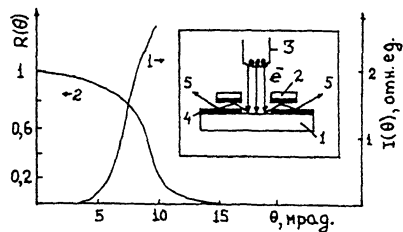


Рис. 1. Угловая зависимость выхода $I(\theta)$ фотонов характеристического рентгеновского излучения K_{α} -серии атомов меди из медной мишени (кривая 1) и коэффициента отражения этих фотонов поверхностью вольфрама (кривая 2).

В настоящем сообщении приведены результаты исследования рабочих характеристик макета микрофокусной рентгеновской трубы с гладким анодом и встроенным волноводным коллиматором.

Конструкция трубы схематично показана на вставке к рис. 1. Трубка содержит массивный анод 1, отражатель 2, катод 3. Поверхность анода была обработана до оптической степени гладкости методом шлифовки и полировки и покрыта (за исключением центральной части мишени анода) слоем вольфрама толщиной 0.1 мкм. Этот покрытый вольфрамом участок анода играл роль одной из стенок канала рентгеновода для вывода рабочего пучка. Отражатель 2 (вторая стенка рентгеновода) был выполнен из полированной кремниевой пластины, покрытой слоем вольфрама и расположенной параллельно поверхности анода на расстоянии 80 мкм. Диаметр мишени анода 8 мм. Траектории рентгеновских лучей, формирующих рабочий пучок показаны цифрой 5.

Работу трубы иллюстрирует рис. 1, на котором показаны рассчитанные угловые зависимости выхода $I(\theta)$ фотонов характеристического рентгеновского излучения K_{α} -серии атомов меди и коэффициента отражения $R(\theta)$ этих фотонов поверхностью вольфрама. Величина $I(\theta)$ пропорциональна произведению $\alpha(\theta) \cdot T(\theta)$, где $\alpha(\theta)$ — глубина проникновения рентгеновских лучей в материал мишени при их падении под углом θ , $T(\theta)$ — отношение квадратов амплитуд прошедшей и падающей волн [7]. При углах скольжения $\theta < \theta_{km}$, где θ_{km} — критический угол для материала мишени, вклад в выход флуоресценции вносят атомы, расположенные на глубине 1–10 нм — глубине проникновения рентгеновских лучей при полном внешнем отражении. Коэффициент отражения рентгеновских лучей $R(\theta)$ материалом отражателя ≈ 1 при углах скольжения $\theta < \theta_{kr}$, где θ_{kr} — критический угол полного внешнего отражения рентгеновских лучей поверхностью рентгеновода. Материал канала рентгеновода выбран таким, чтобы выполнялось соотношение $\theta_{kr} > \theta_{km}$. Из рис. 1 следует, что та часть рентгеновского излучения, которая попадает в канал рентгеновода под углом $\theta < \theta_{kr}$, захватывается

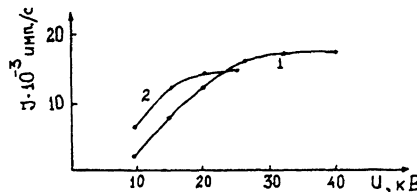


Рис. 2. Зависимость интенсивности J дифрагированной на монокристалле кремния (100) Cu K_α -линии от анодного напряжения U для рентгеновской трубы БСВ-24 (кривая 1) и трубы с встроенным волноводным коллиматором (кривая 2).

им в волноводный режим распространения. Угловая расходимость пучка на выходе из трубы по порядку величины совпадает со значением $\theta_{\text{кр}} - \theta_{\text{км}}$.

Описанный выше анодный узел был встроен в корпус серийной трубы БСВ-27, рабочие характеристики которой исследовались при работе дифрактометра ДРОН-2М. Измеренная угловая расходимость пучка составляла $1.5 \cdot 10^{-2}$ рад. Отличие измеренной величины от значения $\theta_{\text{кр}} - \theta_{\text{км}} = 3 \cdot 10^{-3}$ рад. связано, по-видимому, с непараллельным расположением отражателя относительно плоскости анода.

На рис. 2 показаны измеренные зависимости интенсивности J дифрагированной на монокристалле кремния (100) Cu K_α -линии от анодного напряжения для серийной трубы БСВ-24 и описанного макета. Анодный ток 3 мА, щель перед детектором 0.1 мм, щель после трубы БСВ-24 0.1 мм, угол отбора пучка относительно плоскости анода трубы БСВ-24 составлял 6 град. Из рис. 2 видно, что зависимость $J(U)$ для исследуемого макета выходит на насыщение при значительно меньших напряжениях, чем для трубы БСВ-24. Это связано с тем, что толщина слоя атомов мишени, излучение от которых формирует рабочий пучок, составляет величину 140 нм. Поскольку пробег электронов с энергией 10–20 кэВ в меди составляет величину 0.5–1.6 мкм, то ясно, что увеличение выхода излучения для рассматриваемого случая происходит в основном за счет роста сечения ионизации, а не за счет увеличения глубины проникновения электронов. При сравнении абсолютных значений интенсивности рабочего пучка исследуемых трубок необходимо учитывать, что площадь действительного фокусного пятна у трубы с волноводным коллиматором в несколько раз больше, а плотность анодного тока меньше, чем в трубы БСВ-24. При этом описанная конструкция трубы позволяет увеличить размер действительного фокусного пятна без увеличения эффективного, в результате чего можно ожидать получения интенсивных пучков рентгеновского излучения при значительно меньших плотностях тока и величинах рабочего напряжения, чем у серийных трубок.

Полученные результаты свидетельствуют о перспективности использования анодов со сверхгладкими поверхностями в рентгеновской технике.

Исследования профинансираны Фондом фундаментальных исследований Беларуси.

Список литературы

- [1] Рентгенотехника. Справочник. В 2-х кн./ Под ред. В.В. Клюева. Т. 1. М.: Машиностроение, 1980. 431 с.
- [2] Мишет А. Оптика мягкого рентгеновского излучения. М.: Мир, 1989. 351 с.
- [3] Becker R.S., Golovchenko J.A., Patel J.R. // Phys. Rev. Lett. 1983. V. 50. N 3. P. 153-156.
- [4] Мингазин Т.А., Зеленов В.И., Лейкин В.Н. // ПТЭ. 1981. № 1. С. 229-232.
- [5] Дудчик Ю.И., Комаров Ф.Ф., Соловьев В.С., Тишков В.С. // Письма в ЖТФ. 1990. Т. 16. В. 1. С. 57-61.
- [6] Дудчик Ю.И., Комаров Ф.Ф., Кумахов М.А., Лобоцкий Д.Г., Соловьев В.С., Тишков В.С. // Письма в ЖТФ. 1990. Т. 16. В. 15. С. 43-47.
- [7] Vineyard G.H. // Phys. Rev. 1982. V. 26B. N 8. P. 4145-4159.

Научно-исследовательский институт
прикладных физических проблем
им. А.Н. Севченко
Беларусь, Минск

Поступило в Редакцию
28 декабря 1992 г.